

HW8

7.7 如果图 G 的任一真子图 H 皆有 $\chi(H) < \chi(G)$, 则称 G 是色临界图; 若 $\chi(G) = k$, 则称色临界图 G 是 k 色临界图。

(1)证明: 1色临界图只有 K_1 , 2色临界图只有 K_2 , 3色临界图只有 k 阶奇圈, $k \geq 3$ 。

(2)试给出一些4色临界图的例子。

(3)若 G 是 k 色临界图, 证明: $\forall v \in V(G)$, 均有 $\deg(v) \geq k - 1$ 。

1. 若1色临界图 G 有多于两个顶点, 则取只含其中一个顶点的子图 H , 有 $\chi(H) = 1 = \chi(G)$, 与1色临界图的定义矛盾, 故1色临界图只有 K_1

对2色临界图 G , 则 G 中至少含一条边 e 。若除了 e 关联的两个顶点之外还有其他顶点, 取 e 及其关联的两个顶点为子图 H , 则 $\chi(H) = 2 = \chi(G)$, 与 G 为色临界图矛盾, 故2色临界图只有 K_2 。

对于3色临界图 G , 则其一定含有奇圈 H , 若 H 为 G 的真子图, 则 $\chi(H) = 3 = \chi(G)$, 与 G 为3色临界图矛盾, 故 $G = H$, 即3色临界图只有奇圈。

2. K_4 即为4色临界图。

3. 反证法, 若 $\exists v \in V(G), \deg(v) \leq k - 2$, 设 v 的邻顶分别为 $u_1, u_2, \dots, u_t (t \leq k - 2)$ 。

考虑 $H = G - \{v\}$ 为 G 的真子图, 则 $\chi(H) \leq k - 1$, 即可以用 $k - 1$ 种颜色将 H 正常着色。再将 $H + \{v\}$ 中的顶点 v , 染上 $k - 1$ 种颜色中与 $u_1, u_2, \dots, u_t (t \leq k - 2)$ 不同的颜色, 如此我们就得到一个图 G 的正常 $k - 1$ 着色, 与 G 为 k 色临界图矛盾。

故 $\forall v \in V(G), \deg(v) \geq k - 1$ 。

7.8 轮是一个圈加上一个新顶点, 把圈上的每个顶点都和新顶点之间连一条边, 求 v 阶轮的边色数。

记该图为 G , 给中心顶点编号为 v_0 , 圈上的顶点按顺时针顺序分别编号为 v_1, v_2, \dots, v_{v-1} 。

因为 v_0 关联 $v - 1$ 条边, 故 $\chi'(G) \geq v - 1$ 。

考虑下面的 $v - 1$ 着色方法: v_0 与 v_i 之间着第 i 色($1 \leq i \leq v - 1$), v_i 与 v_{i+1} 之间着第 $i + 2$ (模 k 意义下)色。可知其为 G 的正常着色。故 $\chi'(G) = v - 1$ 。

7.9 给出求二分图正常 Δ 边着色的算法。

设 $G(X, Y, E)$ 为二分图, 且 $|X| \geq |Y|$, 该二分图正常 Δ 边着色算法如下:

1. 加顶点扩充 Y , 使得 $|X| = |Y|$, 添加边使 G , 变成 Δ 次正则二分图, 记为 G^* 。
2. 利用匈牙利算法主次求其完备匹配, 直至求出 G^* 的 Δ 个边不重的完备匹配, 每个完备匹配着一个颜色。
3. 去掉扩充的顶点及边。

7.10 证明: 若二分图的顶点的最小次数为 $\delta > 0$, 则对边进行 δ 着色时, 能使每个顶点所关联的边中皆出现 δ 种颜色。

考虑 $C = (E_1, E_2, \dots, E_\delta)$ 是二分图 G 的一个最佳 δ -边着色, 如果存在一个顶点 v_0 和两种颜色 i 与 j , 使得 i 色不在 v_0 关联的边中出现, 但 j 色在 v_0 关联的边中至少出现两次, 则边导出子图 $G[E_i \cup E_j]$ 中含 v_0 的联通篇是一个奇圈, 与二分图 G 不含奇圈矛盾。故所有 δ 种颜色在每个顶点关联的边中出现。

7.14 设有4名教师 x_1, x_2, x_3, x_4 给5个班级 y_1, y_2, \dots, y_5 上课, 某天的教学要求如下:

	y_1	y_2	y_3	y_4	y_5
x_1	1	0	1	0	0
x_2	1	0	1	1	0
x_3	0	1	1	1	1
x_4	0	1	0	1	2

(1)这一天需要安排多少课时(2)需要多少教室?

1. 需要 $\Delta = 4$ 个课时。
2. 有 $\lceil \frac{13}{4} \rceil = 4$, 需要4间教室。

7.16 证明: 若一个平面图的平面嵌入是Euler图, 则它的对偶图是二分图。

若 G 为Euler图, 则 G 中所有顶点度数为偶数, G 的对偶图 G^* 的每个面关联偶数条边, 即 G^* 中无奇数圈, G^* 为二分图。

7.19 求图7.25种两个图的颜色多项式。

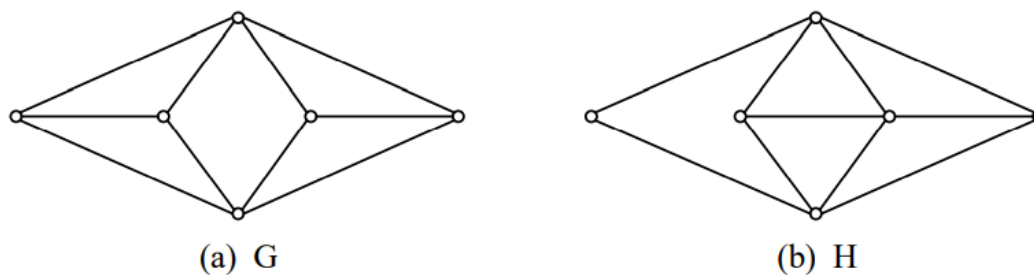




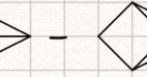


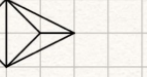





图 7.25


(a)  =  -  =  -  - 


= $(k-2)$  - 

其中  =  - 



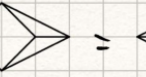
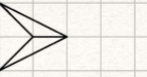
= $k(k-1)(k-1)(k-2)(k-2) - k(k-1)(k-2)(k-3)$

= $k(k-1)(k-2)(k^2-4k+5)$

 = $k(k-1)(k-2)(k-3)(k-2)$

\therefore  = $k(k-1)(k-2)^2(k^2-4k+5) - k(k-1)(k-2)^2(k-3)$

= $k(k-1)(k-2)^2(k^2-5k+8)$

(b)  =  -  = 

= $k(k-1)(k-2)^2(k^2-5k+8)$

7.20 若 G 是 v 个顶点的轮, 求颜色多项式 $p_k(G)$ 。

记 G_v 为 v 个顶点的圈, 有公式 $p_k(G) = p_k(G - e) - p_k(G \cdot e)$

在上式中, 取 $G_v (v \geq 3)$ 为 G , 取 e 为圈上的一条边, 则 $p_k(G_v \cdot e) = p_k(G_{v-1})$ 。得到递推式

$$p_k(G_v) + p_k(G_{v-1}) = k(k-1)^{v-1}$$

带入 $p_k(G_2) = k(k-1)$ 可得 $p_k(G_v) = (k-1)^v + (-1)^v(k-1)$

故 $p_k(G) = k \cdot p_{k-1}(G_{v-1}) = k \cdot ((k-2)^{v-1} + (-1)^{v-1}(k-2))$ 。

8.2 设 D 是没有有向圈的有向图。

(1)证明: $\delta^- = 0$ 。

(2)试证: 存在 D 的一个顶点序列 v_1, v_2, \dots, v_v , 使得对于任给 $i (1 \leq i \leq v)$, D 的每条以 v_i 为终点的有向边在 $\{v_1, v_2, \dots, v_{i-1}\}$ 种都有它的起点。

1. 假设 $\delta^- \geq 1$, 则任取 $v \in V(D)$, 都有 $\deg^-(v) \geq 1$ 。取 v_0 , 令 $S = \{v_0\}$, 则存在 v_1 使得 $(v_1, v_0) \in E(D)$, 且 $v_1 \notin S$ (否则有有向圈)。令 $S = S \cup \{v_1\}$, 再找到 v_2 使得 $(v_2, v_1) \in E$, 且 $v_2 \notin S$ 。以此类推, 对于 $S = \{v_0, v_1, \dots, v_n\}$, 可以找到 v_{n+1} , 使得 $(v_{n+1}, v_n) \in E$, 且 $v_{n+1} \notin S$, 与图 D 顶点数有限矛盾。故有 $\delta^- = 0$ 。

2. (拓扑排序) 类似1.的证明, 图 D 中 $\delta^+ = 0$, 取 $v_1 \in V(D)$, 使得 $\deg_D^+(v_1) = 0$ 。

记 $D_1 = D - \{v_1\}$, 则 D_1 中也没有有向圈, 则可选择 $v_2 \in D_1$, 使得 $\deg_{D_1}^+(v_2) = 0$ 。

以此类推可以得到满足要求的序列。

8.3 证明: 任给无向图 G , G 都有一个定向图 D , 使得对于所有的 $v \in V$, $|\deg^+(v) - \deg^-(v)| \leq 1$ 成立。

若 G 中存在奇度顶点 v_1, v_2, \dots, v_{2k} (奇度顶点必为偶数)

则 $G' = G + \{v_i v_{i+k} | 1 \leq i \leq k\}$ 为欧拉图, 图中存在一条欧拉回路, 沿着回路给每条边定向得到图 D' , 对于 $\forall v \in D'$, 都有 $\deg^+(v) = \deg^-(v)$ 。

再将 $\{v_i v_{i+k} | 1 \leq i \leq k\}$ 从 D' 中删去, 得到 G 的一个定向图 D , 从 D' 到 D , 每个顶点关联的边之多少1, 故在 D 中, 对于所有的 $v \in V$, $|\deg^+(v) - \deg^-(v)| \leq 1$ 成立。

8.4 判断图8.15的各定向图是否强连通, 如果不是, 再判断是否单向连通, 是否弱连通。

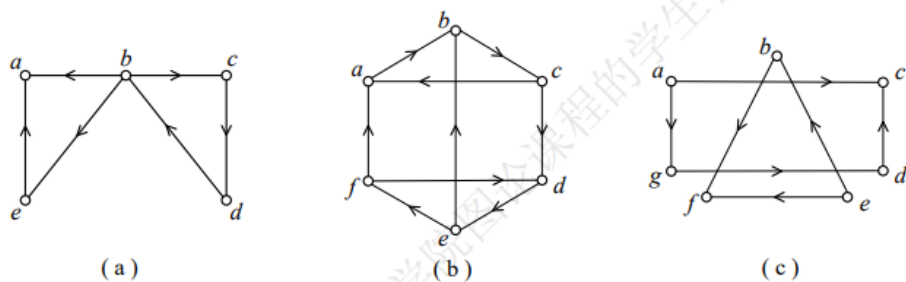


图 8.15

(a) 从 a 不可达 b , 不为强连通, 为单向连通, 为弱连通。

(b) 强连通

(c) 不为强连通, 不为单向连通, 不为弱连通图。

8.6 证明: 连接有向图同一个强连通片中两个顶点的有向通路上的所有顶点也都在这个强连通片中。

设 $P(u, v)$ 是连接有向图同一个强连通片中两个顶点 u, v 的一条有向通路。因为 u, v 强连通, 故则存在有向通路 $P(v, u)$ 。

对 $P(u, v)$ 上的任意两点 u', v' (可能与 u, v 重合) 不妨设 $P(u, v) = P(u, u') + P(u', v') + p(v', v)$ 。则 $P(u', v')$ 是 u' 到 v' 的有向通路, $P(v', v) + P(v, u) + p(u, u')$ 为从 v' 到 u' 的有向通路。

由 u', v' 选取的任意性知道结论成立。